

## Експериментальне дослідження автофретування

Г. І. Львов<sup>a</sup>, В. О. Окороков<sup>b</sup>

<sup>a</sup> Національний технічний університет “ХПІ”, Харків, Україна

<sup>b</sup> Університет Стратклайда, Глазго, Шотландія

Експериментально досліджується автофретування дисків, виготовлених з алюмінієвого сплаву D16. Результати експериментального моделювання порівнюються з чисельними розрахунками. На основі проведених випробувань на циклічний розтяг–стиск плоских зразків розроблено математичну модель пластичності. У модель нелінійного кінематичного зміщення введено додаткові функції попередньо накопиченої пластичної деформації. Для опису зменшення модуля пружності під час пружно-пластичного деформування введено параметр пошкоджуваності згідно з концепцією ефективних напруженень. Експериментально отриманий розподіл залишкових колових і радіальних деформацій показав хороший збіг із чисельними результатами.

**Ключові слова:** автофретування, ефект Баушингера, пошкоджуваність матеріалу, нелінійне кінематичне зміщення.

**Вступ.** Введення сприятливих залишкових напруженень є одним з ефективних способів підвищення міцності і ресурсу при багатоцикловій утомі та запобігання виникненню мікротріщин у таких товстостінних матеріалах конструкцій, як елементи паливних систем у дизельних двигунах, елементи станків гідроабразивної різки, балони для утримування зрідженого газу, місткості для зберігання хімічних речовин під тиском та ін. Метою роботи є експериментальне дослідження технології автофретування, яка полягає у введенні сприятливих залишкових напруженень шляхом навантаження компонента до необхідного рівня пластичної деформації з подальшим розвантаженням.

Важливим завданням дослідження процесів автофретування є прогнозування залишкових напруженень після його проведення. Оскільки в основі автофретування лежить явище пружно-пластичного деформування матеріалу, для точного моделювання необхідно використовувати теорії пластичності, які дозволяють враховувати такі аспекти нелінійного деформування матеріалу, як ефект Баушингера та пошкоджуваність матеріалу. Є багато досліджень, які являють собою експериментальні методи визначення і математичне моделювання ефекту Баушингера стосовно автофретування [1–3]. Це моделювання зазвичай базується або на деформаційній теорії пластичності, або на концепції поверхні пластичності, яка здатна лише зміщуватися і розширятися у процесі деформування із законом зміщення, який не може адекватно змоделювати деформування матеріалу при розвантаженні та повторному навантаженні. Ці недоліки не дозволяють точно розрахувати залишкові напруження після проведення автофретування, що може привести до некоректної оцінки ресурсу при багатоцикловій утомі. Для точного моделювання пластичного деформування розроблено критерій пластичності, згідно з яким поверхня пластичності може зміщуватись і анізотропно змінювати свої розміри. Закон нелінійного кінематичного зміщення модифіковано для більш точного опису зміщення при циклічному пластичному деформуванні.

Ще одним феноменом, який виникає при пружно-пластичному деформуванні є пошкоджуваність матеріалу, яка проявляється у зниженні модуля пружності при деформуванні. Є дослідження [4, 5] цього феномена, які показують зниження модуля

пружності на стадії розвантаження під час проведення випробувань на розтяг різних металів. Деякі фізичні пояснення цього феномена, які пов'язані зі зміною щільності дислокацій при збільшенні пластичної деформації, наведено у [6]. У роботах [7, 8] запропоновано моделювати зменшення модуля пружності скалярним параметром пошкоджуваності, який вводиться згідно з концепцією ефективних напружень [9].

У даній роботі пропонується експериментальний підхід до визначення залишкового напружене-деформованого стану диска після проведення автофретування. Експериментальні результати порівнюються з чисельними, отриманими на основі запропонованої моделі пластичності, константи для якої визначено при випробуваннях на циклічний розтяг-стиск.

**Випробування на циклічний розтяг-стиск.** Із метою визначення констант для запропонованої моделі пластичності було проведено випробування на розтяг-стиск плоских зразків, виготовлених з алюмінієвого сплаву Д16 із таким хімічним складом, %: 85,69 Al; 9,23 Cu; 2,38 Fe; 1,27 Mg; 0,85 Mn; 0,04 Zn; 0,23 Si; 0,21 Ba; 0,1 Ni.

Складність проведення випробувань полягає у тому, що на стадії стиску є ймовірність втрати стійкості зразка. Тому довжину та товщину зразка необхідно вибирати таким чином, щоб уникнути втрати стійкості і водночас забезпечити одновісний напружений стан. Зразки було виготовлено згідно з рекомендаціями стандарту ASTM-E9-89a [10], що визначає методи проведення випробувань на стиск за кімнатної температури, а також з урахуванням результатів розрахунку на втрату стійкості. Таким чином, довжина, ширина та товщина робочої частини зразка складають 50, 12,5 та 6 мм відповідно.

Для випробувань на циклічний розтяг-стиск було використано систему для утомних випробувань INSTRON із навантажувальною здатністю до 250 кН. Експеримент проводився з контролем переміщень зі швидкістю 1 мм/с.

Така технологічна операція, як автофретування, може потребувати декількох циклів навантаження і розвантаження товстостінного компонента конструкції, тому експеримент передбачав проведення серії тестів циклічного розтягу-стиску з різними рівнями деформації. Схему циклічного розтягу-стиску представлено на рис. 1, де  $a$  – деформація розтягу у першому циклі, яку для кожного окремого зразка вибирали з кроком 0,5%;  $b$  – деформація під час розвантаження та стиску, яку для однієї частини зразків вибирали рівною 2%, для іншої – 3%.

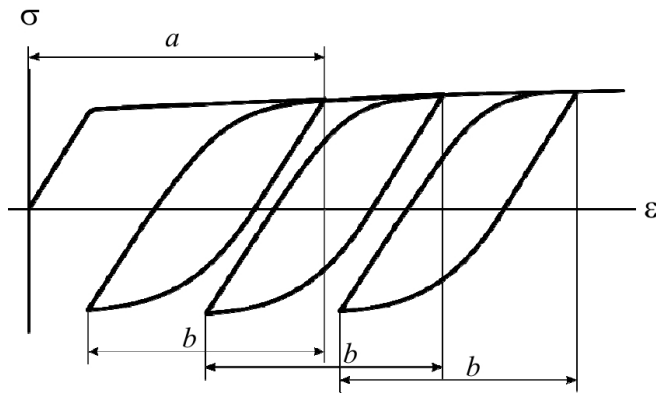


Рис. 1. Схема циклічного розтягу-стиску.

Через велику кількість констант матеріалу використання моделі нелінійного кінематичного зміщення потребує проведення значних обчислень для їх визначення. У [11, 12] ідентифікація параметрів базується на підходах мінімізації цільової функції, в основі якої лежить різниця між експериментальними та прогнозованими даними.

Для ідентифікації параметрів матеріалу для запропонованої моделі пластичності з урахуванням пошкоджуваності матеріалу пропонується наступна цільова функція [13]:

$$F = \sqrt{\frac{1}{n} \sum_{i=1}^n \left[ \frac{f_i^*(x_i^*) - \tilde{f}_i(x_i^*; c)}{f_i^*(x_i^*)} \right]^2}, \quad (1)$$

де  $f_i^*$  і  $x_i^*$  – експериментально отримана функція та її аргумент;  $\tilde{f}_i$  – значення розрахованої функції, згідно з обраною математичною моделлю;  $c$  – набір параметрів матеріалу;  $n$  – кількість експериментально отриманих точок.

**Дослідження ефекту Баушингера.** При дослідженні процесів автофретування важливим питанням є моделювання ефекту Баушингера. Ключовим в установленні ефекту Баушингера є точне визначення границі плинності. Існують різні методики її визначення. У більшості з них границю плинності пропонується обчислювати як напруження, за якого початкова пластична деформація сягає певного значення. В інженерних розрахунках, де не вимагається висока точність, границю плинності зазвичай визначають як напруження при 0,2% пластичної деформації, що є недостатнім для моделювання таких операцій, як автофретування. Тому пропонується границю плинності визначати як напруження при 0,01% пластичної деформації.

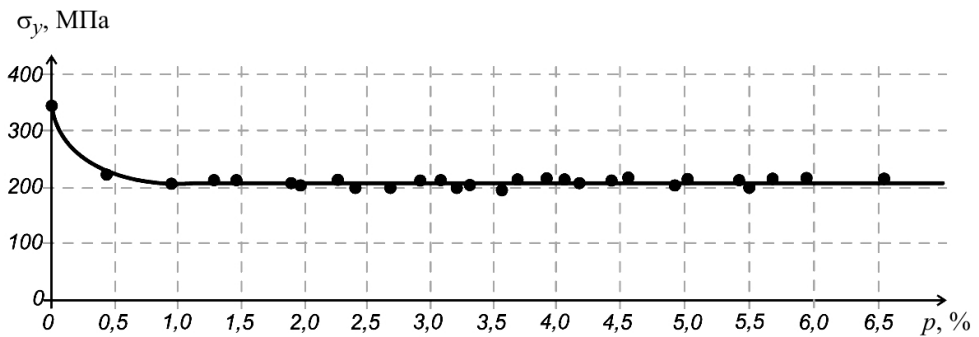


Рис. 2. Експериментальна (точки) і за запропонованою моделлю (крива) залежність границі плинності від накопиченої пластичної деформації.

На рис. 2 показано експериментально визначену границю плинності в залежності від накопиченої пластичної деформації, тобто її обчислювали під час кожного циклу розтягу–стиску. Для таких задач, як автофретування, зазвичай застосовується критерій Мізеса з поверхнею пластичності, яка розширяється і зміщується в процесі деформування. Однак проведений експеримент показує зменшення розміру поверхні пластичності в напрямку деформування, демонструючи глибокий ефект Баушингера (розмір поверхні пластичності в напрямку деформування менше ніж  $2\sigma_y$ , як це передбачено у моделі лінійного кінематичного зміщення). Цей факт може враховуватися модифікованим критерієм Мізеса відповідно до моделі [14]:

$$f = \sqrt{N_{ijkl}(S_{ij} - X_{ij})(S_{kl} - X_{kl})} - R - \sigma_y = 0. \quad (2)$$

Тут  $S_{ij}$  – девіатор тензора напружень;  $R$  – функція ізотропного зміщення;  $X_{ij}$  – тензор додаткових напружень;  $\sigma_y$  – границя плинності;  $N_{ijkl}$  – тензор четвертого рангу, що є сумою тензорів  $I_{ijkl}$  і  $A_{ijkl}$ , які визначаються наступним чином:

$$I_{ijkl} = \frac{1}{2} \left( \delta_{ik} \delta_{jl} + \delta_{il} \delta_{kj} - \frac{3}{2} \delta_{ij} \delta_{kl} \right); \quad (3)$$

$$A_{ijkl} = A_0 \varepsilon_{ij}^p \varepsilon_{kl}^p, \quad (4)$$

де  $A_0$  – параметр матеріалу;  $\varepsilon_{ij}^p$  – тензор пластичних деформацій.

Згідно з такою моделлю поверхня пластичності у процесі деформування може зміщуватись та анізотропно змінювати свої розміри. У просторі головних напружень вона являє собою еліптичний циліндр, тому її слідом на девіаторній площині є еліпс, який в залежності від знака коефіцієнта  $A_0$  може скороочуватись або подовжуватись у напрямку деформування. Згідно з експериментальними результатами коефіцієнт  $A_0$  пропонується визначати у вигляді функції накопиченої деформації  $p$ :

$$A_0 = \frac{2}{3p^2} \left[ \left( \frac{\sigma_y}{\sigma_y - H} \right)^2 - 1 \right]. \quad (5)$$

Тут  $H$  – функція накопиченої пластиичної деформації, яку зручно записати у вигляді суми функцій:

$$H = \sum_{k=1}^n H^k; \quad (6)$$

$$H^k = G^k [1 - \exp(-b^k p)], \quad (7)$$

де  $G^k$  і  $b^k$  – параметри матеріалу;  $p$  – накопичена пластична деформація, приріст якої визначається таким чином:

$$\dot{p} = \sqrt{\frac{2}{3} \dot{\varepsilon}_{ij}^p \dot{\varepsilon}_{ij}^p}. \quad (8)$$

Приріст окремої компоненти  $H^k$  має наступний вигляд:

$$\dot{H}^k = b^k (G^k - H^k) \dot{p}. \quad (9)$$

Після підставлення виразу для коефіцієнта  $A_0$  у (2) критерій пластичності для простого розтягу запишеться так:

$$\sigma = \sigma_y - H + X. \quad (10)$$

Таким чином, функція  $H$  використовується для моделювання ефекту Баушингера, а саме: зменшення границі плинності під час пластичного деформування.

Для визначення параметрів матеріалу  $G^k$  і  $b^k$  мінімізовано наступну цільову функцію:

$$F_1 = \sqrt{\frac{1}{28} \sum_{i=1}^{28} \left[ \frac{H_i^*(p_i^*) - \check{H}_i(p_i^*; c(G^1, b^1))}{H_i^*(p_i^*)} \right]^2}. \quad (11)$$

Після мінімізації функції (11) отримано значення параметрів для функції  $H$ :  $G^1 = 140$  МПа і  $b^1 = 385$ . Як видно з даних рис. 2, для точного моделювання досить одного компонента з суми, якою представлено функцію  $H$ .

**Пластичність при циклічному деформуванні.** На рис. 3 наведено один із результатів випробувань на циклічний розтяг–стиск. Було виявлено, що при розтязі у першому циклі деформування залежність між напруженням та пластичною деформацією майже лінійна, в той час як у наступних циклах вона значно нелінійна. Таким чином, закони зміщення при пластичному деформуванні у першому та наступних циклах суттєво відрізняються. Для моделювання такої поведінки матеріалу пропонується використовувати модель нелінійного кінематичного зміщення, запропоновану в [15]. Згідно з цією моделлю тензор додаткових напружень записується у вигляді суми:

$$X_{ij} = \sum_{k=1}^n X_{ij}^k. \quad (12)$$

Приріст окремої компоненти суми буде:

$$\dot{X}_{ij}^k = \frac{2}{3} Q \gamma \dot{\varepsilon}_{ij}^p - \gamma X_{ij}^k \dot{p}. \quad (13)$$

Перша частина виразу відповідає лінійному кінематичному зміщенню, а друга частина за рахунок накопиченої пластичної деформації  $p$  відображає історію пластичного деформування.

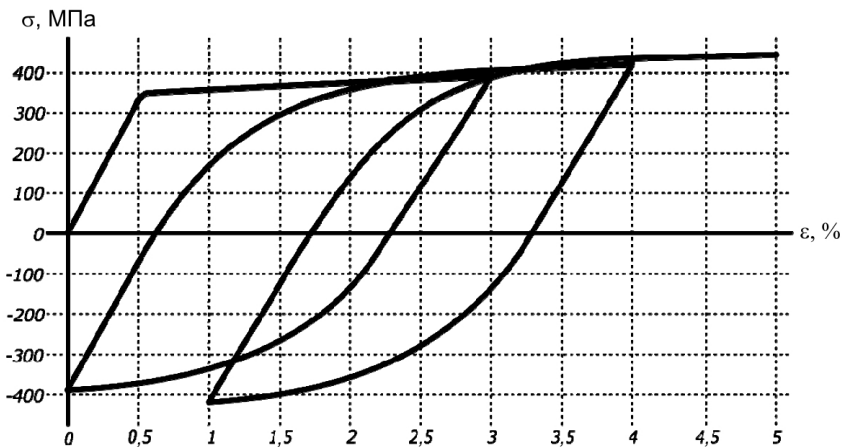


Рис. 3. Експериментально отримана діаграма розтягу–стиску.

На рис. 4 показано криві розтягу та стиску в залежності від попередньо накопиченої пластичної деформації після проведення тесту циклічного розтягу–стиску. Криві побудовано у координатах напруження–пластична деформація, де відлік напруження починається від границі плинності. Видно, що по мірі накопичення пластичної деформації під час циклічного деформування з кожним циклом збільшується амплітуда напружень. Це є проявом феномена циклічного зміщення матеріалу при пластичному деформуванні. Цей ефект неможливо зmodелювати за допомогою стандартної моделі нелінійного кінематичного зміщення, тому для більш точного опису кривих напруження–деформації з декількома циклами деформування пропонується вдосконалити модель нелінійного кінематичного зміщення шляхом заміни констант

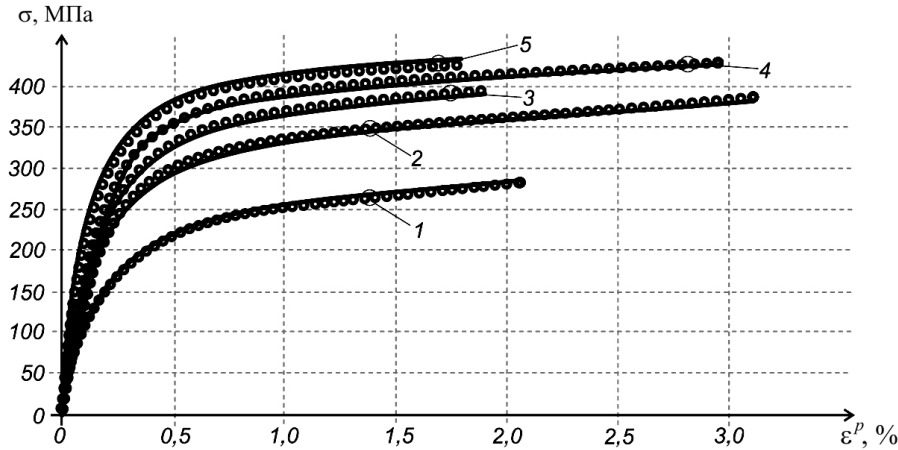


Рис. 4. Криві розтягу і стиску за різних рівнів накопиченої пластичної деформації: 1 – стиск при  $\hat{p} = 0,4\%$ ; 2 – розтяг при  $\hat{p} = 2,3\%$ ; 3 – стиск при  $\hat{p} = 3,3\%$ ; 4 – розтяг при  $\hat{p} = 5,0\%$ ; 5 – стиск при  $\hat{p} = 5,9\%$ . (Тут і на рис. 5: точки – експериментальні дані, криві – за запропонованою моделлю.)

$Q$  і  $\gamma$  функціями попередньо накопиченої пластичної деформації  $\hat{p}$ . Тоді окрему компоненту виразу (12) запишемо так:

$$X'_{ij}^k = \frac{2}{3} \hat{Q}^k \hat{\gamma}^k \dot{\varepsilon}_{ij}^p - \hat{\gamma}^k X'_{ij}^k \dot{p}. \quad (14)$$

Функції попередньо накопиченої пластичної деформації  $\hat{Q}^k$  і  $\hat{\gamma}^k$  пропонується обирати наступним чином:

$$\hat{Q}^k = Q^k + \xi^k (1 - \exp(-\eta^k \hat{p})); \quad (15)$$

$$\hat{\gamma}^k = \gamma^k + \xi^k (1 - \exp(-\mu^k \hat{p})), \quad (16)$$

де  $Q^k$ ,  $\gamma^k$ ,  $\xi^k$ ,  $\eta^k$  і  $\mu^k$  – параметри матеріалу.

Для узгодження закону пластичності зі зменшенням границі плинності зручно включити у тензор додаткових напружень  $X_{ij}$  функцію  $H$  у тензорному вигляді

$$X_{ij} = X'_{ij} + H'_{ij} \quad (17)$$

або

$$X_{ij} = \sum_{k=1}^n X'_{ij}^k + \sum_{l=1}^m H'_{ij}^l. \quad (18)$$

Згідно з (7) і (9) та відповідно до тензора додаткових напружень приріст окремого компонента  $H'_{ij}^l$  необхідно записати так:

$$\dot{H}'_{ij}^l = \frac{2}{3} G^l b^l \dot{\varepsilon}_{ij}^p - b^l H'_{ij}^l \dot{p}. \quad (19)$$

Приріст тензора додаткових напружень має такий вигляд:

$$\dot{X}_{ij} = \sum_{k=1}^n \left[ \frac{2}{3} \bar{Q}^k \bar{\gamma}^k \dot{\varepsilon}_{ij}^p - \bar{\gamma}^k X'^k \dot{p} \right] + \sum_{l=1}^m \left[ \frac{2}{3} G^l b^l \dot{\varepsilon}_{ij}^p - b^l H'^l \dot{p} \right]. \quad (20)$$

Далі необхідно визначити параметри матеріалу для моделі нелінійного кінематичного зміщення, яка представлена виразом (20), де частину параметрів визначено згідно з узгодженням з функцією  $H$ . Решту параметрів будемо визначати з випробувань на циклічний розтяг–стиск. У випадку одновісного розтягу–стиску вираз (20) запишемо наступним чином:

$$\dot{X} = \sum_{k=1}^n [\bar{\gamma}^k \bar{Q}^k \dot{\varepsilon}^p - \bar{\gamma}^k X'^k \dot{p}] + b^1 G^1 \dot{\varepsilon}^p - b^1 H'^1 \dot{p}. \quad (21)$$

Зазначимо, що при циклічному деформуванні приріст компоненти пластичної деформації  $\dot{\varepsilon}^p$  змінює знак, у той час як приріст накопиченої пластичної деформації  $\dot{p}$  завжди позитивний.

Для випадку циклічного деформування в результаті інтегрування виразу (21) із початковими умовами  $X'^k(\hat{p}) = \bar{X}'^k$ ,  $k = 1, 2$  і  $H'^1(\hat{p}) = \bar{H}'^1$ , де  $\hat{p}$ ,  $\bar{X}'^k$  і  $\bar{H}'^1$  – накопичені у попередніх циклах пластична деформація і компоненти тензора додаткових напружень за одновісного розтягу–стиску, отримаємо

$$X = \sum_{k=1}^2 (\bar{Q}^k + \bar{X}'^k)[1 - \exp(-\bar{\gamma}^k p)] + (G^1 + \bar{H}'^1)[1 - \exp(-b^1 p)], \quad (22)$$

а при інтегруванні виразу (9) із початковими умовами  $H^1(\hat{p}) = \bar{H}^1$  –

$$H^1 = (G^1 - \bar{H}^1)[1 - \exp(-b^1 p)]. \quad (23)$$

Одновісне напруження, починаючи відлік від границі плинності, для розтягу–стиску з урахуванням попередньо накопиченої пластичної деформації запишемо згідно з критерієм пластичності (2):

$$\sigma = \sum_{k=1}^2 (\bar{Q}^k + \bar{X}^k)[1 - \exp(-\bar{\gamma}^k p)] + (\bar{H}'^1 + \bar{H}^1)[1 - \exp(-b^1 p)]. \quad (24)$$

Параметри матеріалу  $\bar{Q}^k$  і  $\bar{\gamma}^k$ , які залежать від попередньо накопиченої пластичної деформації, мають визначатися для кожного окремого циклу розтягу–стиску шляхом мінімізації цільової функції:

$$F_2 = \sqrt{\frac{1}{n} \sum_{i=1}^n \left[ \frac{\sigma_i^*(p_i^*) - \sigma_i(p_i^*; c(\bar{Q}^k, \bar{\gamma}^k))}{\sigma_i^*(p_i^*)} \right]^2}. \quad (25)$$

Таким чином, отримано залежність параметрів  $\bar{Q}^k$  і  $\bar{\gamma}^k$  від попередньо накопиченої пластичної деформації. Константи  $\zeta^k$ ,  $\eta^k$ ,  $\xi^k$  і  $\mu^k$  з виразів (15) і (16)

отримано шляхом мінімізації цільової функції (1), константи  $Q^k$  і  $\gamma^k$  – з кривої деформування на першому півциклі навантаження при  $\hat{p} = 0$ . Чисельні значення цих констант дорівнюють:  $\zeta^1 = 60$ ,  $\zeta^2 = -175$  МПа,  $\eta^1 = 71$ ,  $\eta^2 = 18$ ,  $\xi^1 = -1390$ ,  $\xi^2 = 2$ ,  $\mu^1 = 85$ ,  $\mu^2 = 9$ ,  $Q^1 = 20$  МПа,  $Q^2 = 218$  МПа,  $\gamma^1 = 2125$  та  $\gamma^2 = 7$ . Як видно з рис. 4, запропонована модель досить точно описує пластичну поведінку матеріалу при циклічному розтязі–стиску. Для точного моделювання досить двох компонент із суми, якою представлено тензор додаткових напружень  $X'_{ij}$ .

**Моделювання пошкоджуваності матеріалу.** Іншим важливим феноменом, який не можна проігнорувати у моделюванні таких операцій, як автофретування, є зменшення модуля пружності при пружно-пластичному деформуванні. Це явище пропонується моделювати параметром пошкоджуваності відповідно до виразу

$$D = 1 - \frac{E_U}{E_L}, \quad (26)$$

де  $E_L$  – модуль пружності при першому пружному розтязі;  $E_U$  – модуль пружності при розвантаженні.

Експериментальні дослідження показують, що параметр пошкоджуваності залежить від накопиченої пластичної деформації, тому для математичного моделювання використаємо таку залежність:

$$D = \sum_{k=1}^n Q_D^k (1 - \exp(-\gamma_D^k p)), \quad (27)$$

де  $Q_D^k$  і  $\gamma_D^k$  – параметри матеріалу, а приріст окремого компонента суми (27) має наступний вигляд:

$$\dot{D}^k = b_D^k (Q_D^k - D) \dot{p}. \quad (28)$$

Згідно з концепцією ефективних напружень тензор напружень Коші з урахуванням пошкоджуваності матеріалу запишемо так:

$$\sigma_{ij} = (1 - D) E_{ijkl} \varepsilon_{kl}^e. \quad (29)$$

Пошук невідомих параметрів матеріалу  $Q_D^k$  і  $\gamma_D^k$  здійснюється шляхом мінімізації цільової функції (1). Їх чисельні значення дорівнюють:  $Q_D^k = 0,224$  і  $\gamma_D^1 = 95$ . На рис. 5 наведено експериментальну та математично змодельовану залежність параметра пошкоджуваності від накопиченої пластичної деформації. Видно, що для доброго узгодження з експериментальними даними досить одного компонента із суми, якою представлено параметр пошкоджуваності.

**Експериментальне моделювання автофретування.** Для проведення експериментального дослідження залишкового напружено-деформованого стану було виготовлено три диски з алюмінієвого сплаву Д16. Експериментальне моделювання автофретування полягало у продавлюванні стального пuhanсона крізь отвори дисків. Стальний пuhanсон виготовляли у формі зрізаного конуса з трьома паралельними майданчиками таким чином, щоб змоделювати три етапи навантаження. Деформації вимірювали тензодатчиками, які наклеювали на диск у радіальному і кільцевому напрямку. Вимірювання проводилося на трьох етапах навантаження і після протягуван-

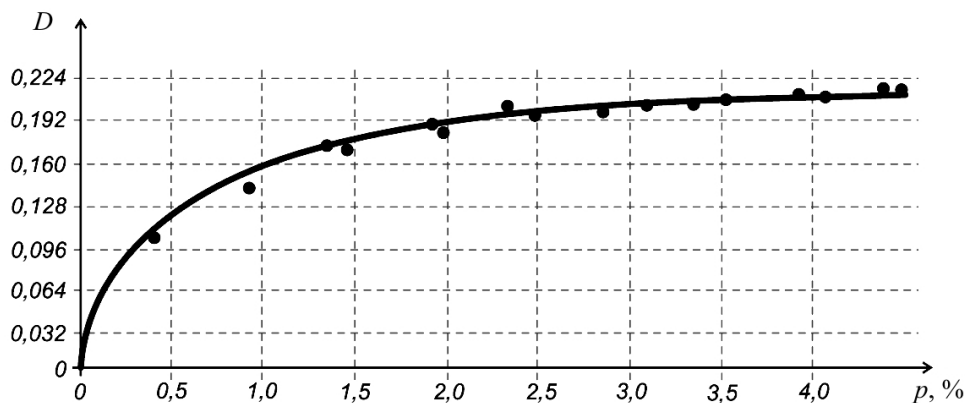


Рис. 5. Залежність параметра пошкоджуваності від накопиченої деформації.

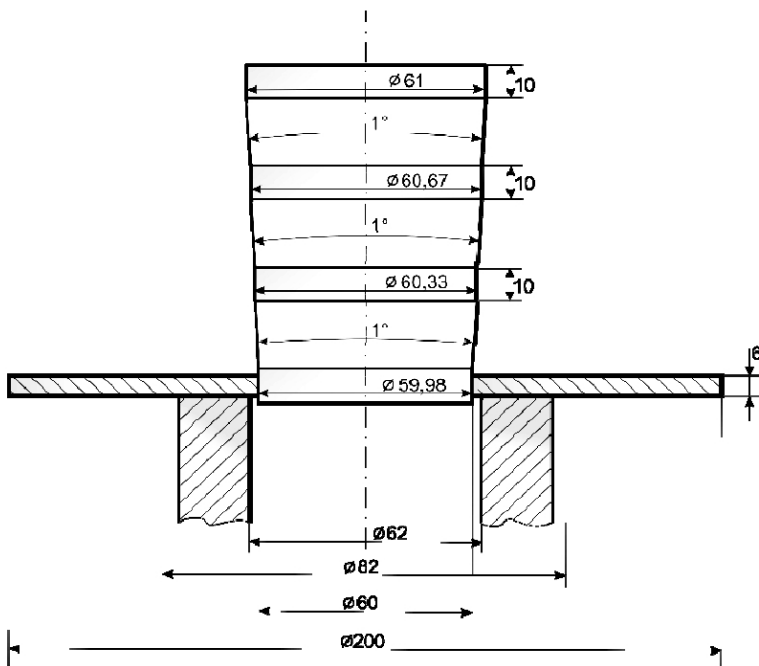


Рис. 6. Геометричні розміри диска, пуансона і підставки під диск.

ня пуансона у розвантаженому стані диска. Геометричні розміри диска, пуансона і підставки під диск наведено на рис. 6. Експериментальну установку ілюструє рис. 7.

Експериментально отримані результати порівнювались із чисельними. Чисельне моделювання здійснювалося методом скінченних елементів із використанням програмного комплексу (ПК) ANSYS. Запропоновану пружно-пластичну модель матеріалу з урахуванням пошкоджуваності було включено у ПК ANSYS шляхом програмованих користувачем підпрограм. Для отримання напруженого-деформованого стану диска при навантаженні, а також залишкового напруженого-деформованого стану було розв'язано задачу контактної взаємодії диска з пуансоном, які моделювалися у віссесиметричній постановці. Для порівняння задачу розв'язано з урахуванням запропонованої моделі пластичності, стандартної моделі нелінійного кінематичного зміцнення без урахування пошкоджуваності та моделі лінійного ізотропного зміцнення.

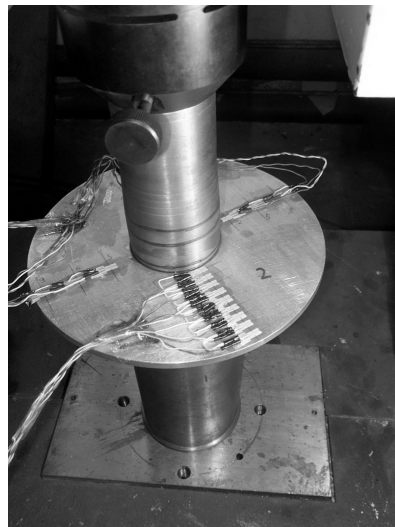


Рис. 7. Експериментальна установка.

На рис. 8 наведено експериментально отримані і чисельно розраховані значення радіальної та колової деформацій на трьох етапах навантаження. Видно, що дані, отримані з використанням запропонованої моделі пластичності, стандартної моделі неелінійного кінематичного зміщення і моделі лінійного ізотропного зміщення, однаково добре збігаються з експериментальними результатами на всіх етапах навантаження. Це зумовлено тим, що при першому навантаженні залежність між напруженням і пластичною деформацією є майже лінійною, і всі моделі пластичності дають одинаковий результат.

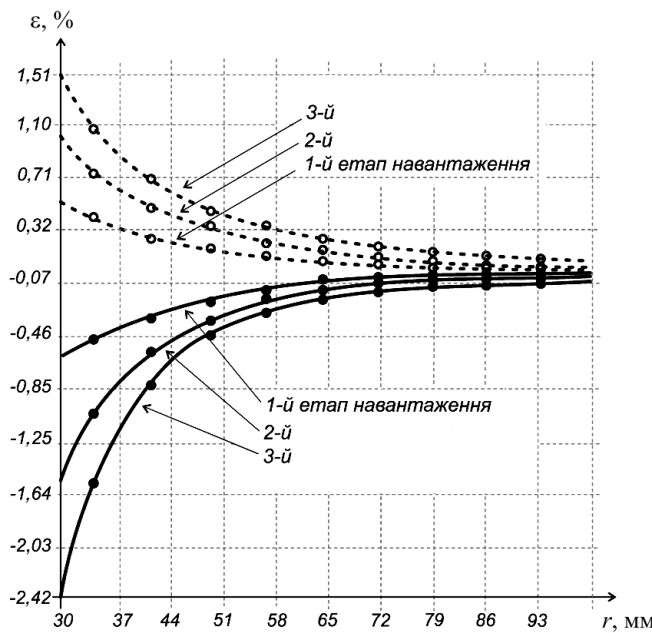


Рис. 8. Розподіл колової та радіальної деформацій уздовж радіальної координати диска на трьох етапах навантаження. (Темні і світлі точки – експериментально визначені колова та радіальна деформації відповідно; суцільні та штрихові лінії – розрахункові колова та радіальна деформації відповідно.)

Рис. 9 ілюструє експериментально отримані і чисельно розраховані значення радіальної та колової деформацій в результаті розвантаження. Видно, що за запропонованою удосконаленою моделлю нелінійного кінематичного зміщення прогноз розподілу деформацій значно точніший, ніж за іншими моделями. За запропонованою моделлю максимальне розходження між експериментальними і розрахунковими значеннями становить 2,1% для радіальної деформації і 2,9% для колової деформації, у той час як при використанні стандартної моделі нелінійного кінематичного зміщення – 18,7 і 26,5% відповідно. При використанні моделі лінійного ізотропного зміщення розходження сягає 22,5 і 30,8% відповідно.

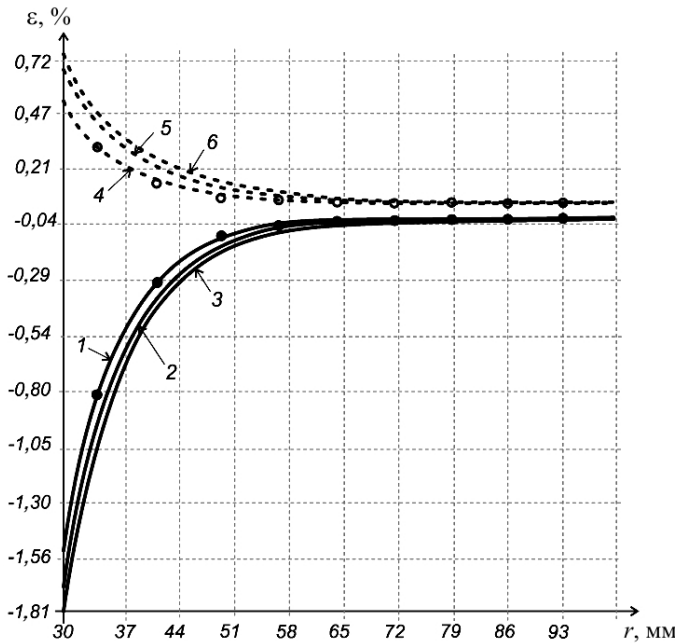


Рис. 9. Розподіл залишкових колової та радіальної деформацій уздовж радіальної координати диска після автофретування: темні і світлі точки – експериментально визначені колова та радіальна деформації відповідно; суцільні та штрихові лінії – розрахункові колова та радіальна деформації відповідно за запропонованою моделлю (1, 4), за моделями нелінійного кінематичного зміщення (2, 5) і лінійного ізотропного зміщення (3, 6).

Результати випробувань показали, що запропонована модель пластичності найкраще прогнозує розподіл залишкових деформацій після проведення автофретування. Тому вважатимемо, що чисельно отриманий розподіл залишкових напружень також точніший з використанням запропонованої моделі пластичності.

На рис. 10 наведено розподіл залишкових колового і радіального напружень уздовж радіальної координати диска після проведення автофретування, отриманий при використанні різних моделей пластичності. Виявлено, що за допомогою моделі лінійного ізотропного зміщення, яка не враховує ефект Баушингера, отримано найбільше значення залишкового колового напруження на внутрішньому радіусі диска, що на 55,7% більше, ніж за запропонованою моделлю. Модель нелінійного кінематичного зміщення більш точно описує розподіл залишкових напружень. Залишкове колове напруження на внутрішньому радіусі вище на 25,8% порівняно з запропонованою моделлю.

Розрахунок залишкового напруженого стану дисків після проведення автофретування показав, що використання неточних моделей пластичності завищує амплітуду

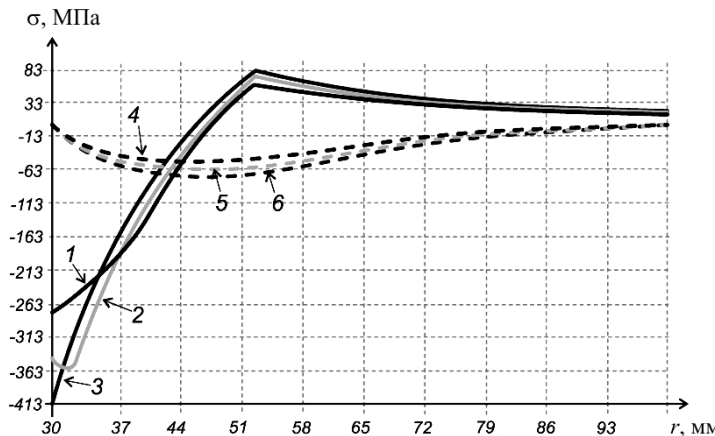


Рис. 10. Розподіл залишкових колового та радіального напруження уздовж радіальної координати диска після розвантаження: суцільні та штрихові лінії – розрахункові колове та радіальне напруження відповідно за запропонованою моделлю (1, 4), за моделями нелінійного кінематичного зміщення (2, 5) і лінійного ізотропного зміщення (3, 6).

залишкових колових напруженень, і подальші розрахунки на багатоциклову утому будуть мати неконсервативний характер.

## Висновки

1. Наведено методику експериментального дослідження процедури автофретування, яка включає в себе випробування на циклічний розтяг–стиск, метою якого є визначення параметрів матеріалу для запропонованої моделі пластичності та безпосереднє експериментальне моделювання автофретування.

2. Проведені випробування на циклічний розтяг–стиск плоских алюмінієвих зразків дозволили виявити ефект Баушингера та пошкоджуваність матеріалу. Для узгодження математичної моделі пластичності з експериментальними даними запропоновано удосконалення моделі нелінійного кінематичного зміщення шляхом введення додаткових функцій попередньо накопиченої пластичної деформації. Також використано модифікований критерій пластичності Мізеса, у який введено функцію зменшення границі плинності при пластичному деформуванні і який моделює зміщення й анізотропне змінення розмірів поверхні пластичності.

3. Експериментальні результати автофретування дисків порівняно з чисельними розрахунками з використанням ПК ANSYS, в який за допомогою програмованих користувачем підпрограм введено визначальні співвідношення пружно–пластичного деформування матеріалу з урахуванням пошкоджуваності. Експериментально отриманий розподіл радіальної та колової деформацій на етапах навантаження диска, а також у розвантаженому стані показав хороший збіг із чисельними результатами за запропонованою моделлю пластичності. Чисельні результати, одержані за іншими моделями пластичності, дають значне завищення залишкових напруженень у порівнянні із запропонованою моделлю.

## Резюме

Экспериментально исследуется автофретирование дисков, изготовленных из алюминиевого сплава Д16. Результаты экспериментального моделирования сравниваются с численными расчетами. На основе проведенных испытаний на циклическое растяжение–сжатие плоских образцов разработана математическая модель пластичности.

В модель нелинейного кинематического упрочнения введены дополнительные функции предварительно накопленной пластической деформации. Для описания уменьшения модуля упругости при упругопластическом деформировании введен параметр повреждаемости согласно с концепцией эффективных напряжений. Экспериментально полученное распределение остаточных окружных и радиальных деформаций показало хорошее совпадение с численными результатами.

1. Farrahi G. H., Hosseini E., and Assempour A. On the material modeling of the autofrettaged pressure vessel steels. *J. Press. Vess. Technol.* 2009. **131**. P. 1121–1129.
2. Bhatnagar R. M. Modeling, validation and design of autofrettage and compound cylinder. *Europ. J. Mech. A/Solids.* 2013. **39**. P. 17–25.
3. Perl M., Perry J., Aharon T., and Kolka O. Is there an “ultimate” autofrettage process? *J. Press. Vess. Technol.* 2012. **134**. P. 63–71.
4. Parker A., Troiano E., Underwood J. H., and Mossey C. Characterization of steels using a revised kinematic hardening model incorporating Bauschinger effect. *J. Press. Vess. Technol.* 2003. **125**. P. 277–281.
5. Aliakbari K. and Farhangdoost Kh. The investigation of modeling material behavior in autofrettaged tubes made from aluminium alloys. *Int. J. Eng.* 2014. **27**. P. 803–810.
6. Puskar A. A correlation among elastic modulus defect, plastic strain and fatigue life of metals. *Mater. Sci. Forum.* 1993. **119–121**. P. 455–460.
7. Lvov G. and Kostromitskaya O. Effect of material damage on autofrettage of thick-walled cylinder. *Universal J. Mech. Eng.* 2014. **2**. P. 44–48.
8. Altenbach H., Lvov G., Naumenko K., and Okorokov V. Consideration of damage in the analysis of autofrettage of thick-walled pressure vessels. *Proc. Inst. Mech. Eng. C.* 2016. **230**. P. 3585–3593.
9. Murakami S. Continuum Damage Mechanics. Springer, 2012. 402 p.
10. ASTM-E9-89a. Standard Test Methods for Compression Testing of Metallic Materials at Room Temperature. ASTM International. West Conshohocken, PA. 2000.
11. Badnava H., Pezeshki S. M., Fallah Nejad Kh., and Farhoudi H. R. Determination of combined hardening material parameters under strain controlled cyclic loading by using the genetic algorithm method. *J. Mech. Sci. Technol.* 2012. **26**. P. 3067–3072.
12. Franulovic M., Basan R., and Krizan B. Kinematic hardening parameters identification with respect to objective function. *Int. J. Mech. Aerospace Industrial Mechatronics Eng.* 2014. **8**. P. 677–681.
13. Szeliga D., Gawad J., and Pietrzyk M. Parameter identification of material model based on the inverse analysis. *Int. J. Appl. Math. Comput. Sci.* 2004. **14**. P. 549–556.
14. Baltov A. and Sawczuk A. A rule of anisotropic hardening. *Acta Mech.* 1965. **1**. P. 81–92.
15. Chaboche J. L. and Rousselier G. On the plastic and viscoplastic constitutive equations. Part I: Rules developed with internal variable concept. Part II: Of application internal variable concepts to the 316 stainless steel. *J. Press. Vess. Technol.* 1983. **105**. P. 153–164.

Поступила 02. 02. 2015